

Utjecaj dodavanja lijevane legure na metalografsku strukturu kobalt-krom odljevaka

Effect of the Addition of Cast Alloy Over the Metalographic Structure of Cobalt-Chromium Castings

Tatjana Klarić-Jurković
Krešimir Kraljević
Tanja Matković*

Zavod za mobilnu
protetiku Stomatološkog
fakulteta Sveučilišta
u Zagrebu

* Zavod za materijale
Metalurškog fakulteta Sisak
Sveučilišta u Zagrebu

Sažetak

Tijekom različitih rekonstrukcijskih zahvata u stomatološkoj protetici upotrebljavaju se kobalt-krom legure. Najčešće se primjenjuju za izradu metalnih konstrukcija parcijalnih proteza i, nešto rjeđe, za izradu potpunih ploča kod totalnih proteza. Postupci lijevanja zahtijevaju da se rastali više metala nego što je potrebno da se ispuni kalup. Višak se odvaja od odljevka. Mogućnost uporabe ovog viške legure za dobivanje prihvatljivog odljevka tema je mnogih istraživanja.

Eksperimentalnim radom željeli smo utvrditi opseg promjena koje nastaju kod kobalt-krom legura kad im se dodaju jednom lijevane legure u različitom postotku (B). Ispitivane su legure Wironium, Wironit (Bego) i Basil S (Zlatarna Celje) uz dodatak jednom lijevane legure (B) u postocima 0%, 25%, 50%, 75% i 100%.

Iz rezultata istraživanja vidljivo je da se metalografska struktura, a time i kemijski sastav ispitivanih legura mijenja unutar dopuštenih granica. Taj podatak upućuje na mogućnost ponovne upotrebe kobalt-krom legura, uz stanovita ograničenja

Ključne riječi: *kobalt-krom legure, metalografska struktura*

Acta Stomatol. Croat.
1994; 28: 185—193

IZVORNI
ZNANSTVENI RAD

Primljeno: 21. travnja 1994.
Received: April 21, 1994

Uvod

Svojstva pojedinih legura ovisna su o udjelima prisutnih komponenti, te toplinskoj i mehaničkoj obradi. Za svaku od legura koje se upotrebljavaju u stomatologiji postoji dopušteni raspon koncentracija pojedinih komponenti u kojima se zadržavaju potrebna svojstva (1, 2, 3, 4, 5).

Radi poboljšanja svojstava, kobalt-krom legure mogu u malim količinama sadržavati neke od sljedećih dodataka: aluminij, molibden, beri-

lij, željezo, mangan, bakar, ugljik, galij i bor (6, 7, 8, 9, 10, 11).

Od svih sastojaka najvažniji je utjecaj ugljika. Promjene sadržaja ugljika reda veličine od 0,2% u tim legurama mijenjaju svojstva tih legura u tolikoj mjeri da se njima više ne može koristiti u stomatologiji (1, 4, 12).

Tipična je mikrostruktura kobalt-krom legure dendritna s nakupinama karbida u obliku otočića (13, 14).

Radi ekonomičnosti izrade metalnih konstrukcija prilikom lijevanja kobalt-krom legura upotrebljavaju se i ostaci jednom lijevanih legura. Realno je očekivati da će se stoga promijeniti sastav originalne legure.

U pogledu ponovnog korištenja kobalt-krom legura, koje se javljaju kao ostaci lijevanja pojedinih metalnih skeleta proteza, ne postoje pravila zasnovana na eksperimentima niti općenite preporuke.

Tako se u pojedinim laboratorijima legure lijevaju samo jedanput, a u nekim se višekratno upotrebljavaju njihovi ostaci. Ponovno korištenje legura opravdano je ako se pri lijevanju minimalno mijenjaju svojstva lijeva. Pri tome se mogu zanemariti mala odstupanja koja bitno ne utječu na mikrostrukturu. Rezultati autora koji se bave tim problemom (15, 16) upućuju na mogućnost ponovne upotrebe kobalt-krom legura. Kod višestrukog lijevanja legure udio kroma, mangan, silicija i ugljika smanjuje se u korist nikla, željeza i kobalta. Ispitivanja Presswooda (17) pokazala su da se legure na bazi kobalta i kroma mogu lijevati do šeste generacije bez bitnije promjene sastava. Rezultati ispitivanja svakog od šest odljevaka pokazali su da je njihov sastav jednak sastavu početne legure.

Mikroporoznost, iako ne očevیدna u svim odljevima u ovom proučavanju, stalno je prisutan problem kod lijevanja legure. Porozni odljevci imaju reduciraju efektivnu površinu presjeka koja je smanjena za površinu oštećenja (18).

Ovim istraživanjem željela se ustanoviti promjena mikrostrukture i kemijskog sastava kobalt-krom legura poslije dodavanja jednom upotrijebljene legure. Također se željelo ispitati kolik je dopušteni udio dodatka koji bitno ne mijenja svojstva osnovne legure.

Materijali i postupci

Ispitane su kobalt-krom legure Wironium i Wironit (Bego, Njemačka) i kobalt-krom legura Basil S (Zlatarna Celje, Slovenija). Prema podacima proizvođača ove legure posjeduju dobra mehanička svojstva i izrađene su prema kriterijima koje zahtijeva DIN 13912 i ostali međunarodni standardi (19).

Svi uzorci pripremljeni su na isti način. Voštani predlošci ispitivanih uzoraka, promjera 9 mm i duljine 10 mm, izrađeni su od plavog voska za modeliranje. Voštani štapići ulagani su u

uložnu masu Politern C (Polident, Slovenija). Pripremljena kiveta stavljana je u peć za predgrijavanje na 300°C i zagrijavana trideset minuta. Nakon toga kiveta je stavljena u peć za žarenje, gdje je postupno zagrijavana 20 minuta na 300°C, 20 minuta na 600°C, 45 minuta na 1000°C. Tako užarena kiveta stavljena je u peć za lijevanje. Uzorci su lijevani u visokofrekventnom vakuumskom lijevaču (Nautilus, Bego) (19).

Nakon lijevanja, kiveta se postupno hladila na zraku, a zatim je slijedilo vađenje i standardna obrada odljevaka. Očišćeni i polirani uzorci označeni su brojevima od 1 do 5. Prvi je uzorak originalna legura s 0% B (B označava udio jednom lijevane legure), dok ostali uzorci sadrže 25%, 50%, 75% i 100% B.

Za metalografska ispitivanja uzorci su brušeni i polirani. Pritom se uporabila električna brusilica s brusnim papirom finoće 80 do 600. Da bi se izbjegle toplinski uzrokovanе promjene, uzorci su hlađeni vodom. Poliranje se izvodilo s pomoću suspenzije glinice (Al_{2O_3}) koja se nanosila na rotirajući samoljepljivi pusteni disk.

Metalografska ispitivanja izvršena su na mikroskopu tvrtke Meopta (tip RN2) s maksimalnim povećanjem do 1000 puta. Mikrostruktura kubičnih izotropnih metala (kao kod ovih legura) ne može se vidjeti čak ni u polariziranom svjetlu. Zato se uzorci nagrizaju odgovarajućim kemijskim sredstvima da bi se istaknula njihova mikrostruktura. To mogu biti kiseline, lužine ili soli koje selektivno napadaju površinu uzorka (20).

Za nagrizanje površine korištena je smjesa od 10 g kalijevog ferocijanida, 10 g kalijevog hidroksida i 100 cm³ vode. Tu smo otopinu zagrijavali na 100°C. Nagrizanje uzorka trajalo je 10 minuta.

Za ispitivanje mikrostrukturnih karakteristika i kvantitativnu kemijsku analizu uzorka upotrijebljena je elektronska mikrosonda (SCANNING ELECTRON MICROPROBE ANALYSER — SEM tipa JOEL JXA-50 A). U scintilacijskom brojaču registriraju se impulsi karakterističnih valnih duljina rentgenskog zračenja. Iz dobivenih vrijednosti izračunale su se koncentracije pojedinih elemenata metodom usporedbe s poznatim standardom.

Određivanje sadržaja ugljika jest završno mjerjenje jer se pri tome uzorci spaljuju. Za ispitivanje je upotrijebljen LECCO-analizator (tip CS-444, točnost mjerjenja +/- 0,3 PPM) s ugrađenim mikroprocesorom. Uzorci se spaljuju u

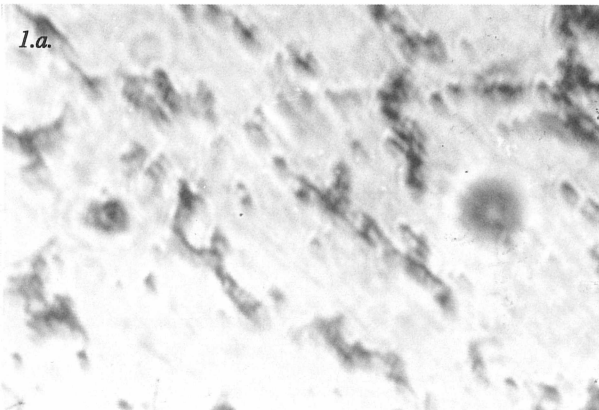
struji kisika, pri čemu se ugljik iz uzorka spaja s kisikom u ugljični dioksid (CO_2). Koncentracija ugljika određuje se iz ugljičnog dioksida pomoću detektora za IR-spektar.

Rezultati

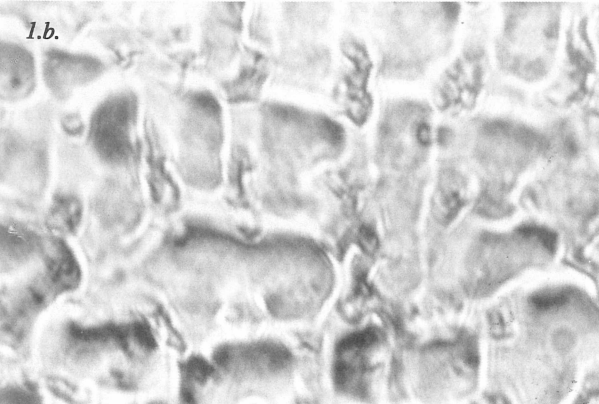
Promatranjem površine izlivenih uzorka primjećuje se razlika između legura. Površina legure Basil S prekrivena je gustim slojem ugljene prašine, dok su legure Wironit i Wironium čiste. Može se pretpostaviti da će se to zapažanje pokazati bitnim pri dalnjim istraživanjima.

Metalografski su ispitane originalne legure Wironium, Wironit i Basil S te legure s dodacima 0% B, 25% B, 50% B, 75% B i 100% B.

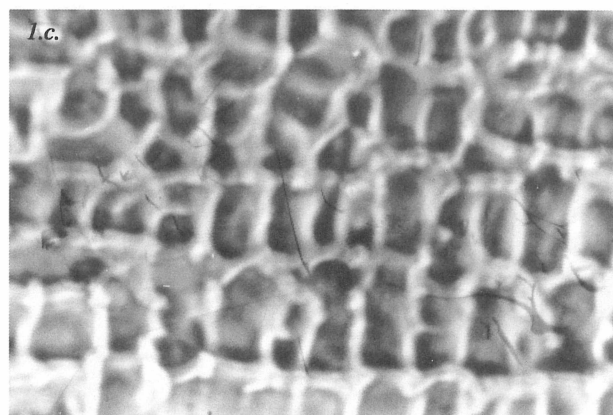
Na metalografskim snimkama čistih legura Basil S (slika 1a), Wironit (slika 1b) i Wironium (slika 1c) vidi se razlika u mikrostrukturom uzrokovana različitošću tvorničke pripreme legura. Legure Wironit i Wironium, naime, dobivene su kovanjem, dok je legura Basil S lijevana.



1.a.



1.b.



1.c.

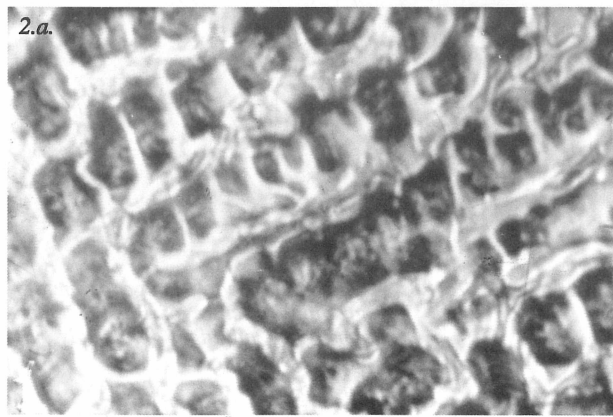
Slika 1. a, b, c Mikroskopske snimke metalografskih struktura legura: a) Basil S, b) Wironit i c) Wironium pri povećanju 250 x

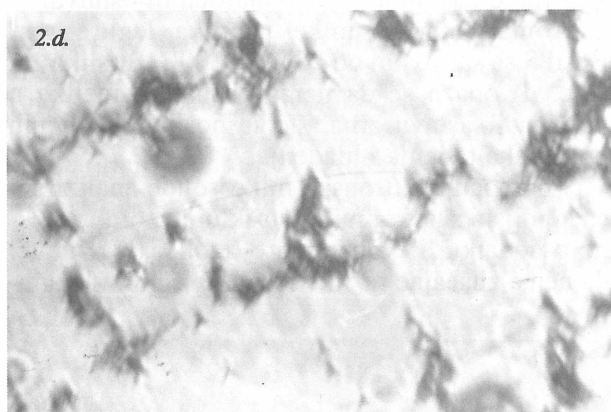
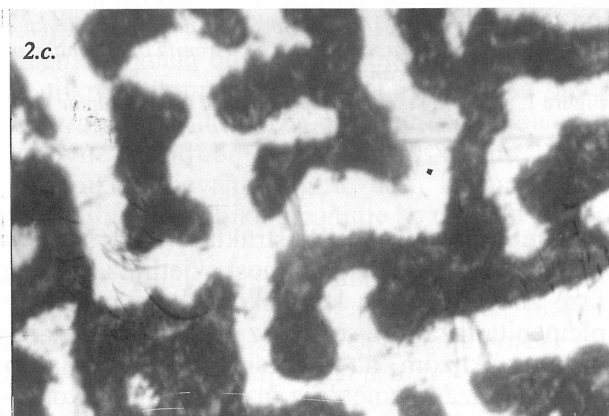
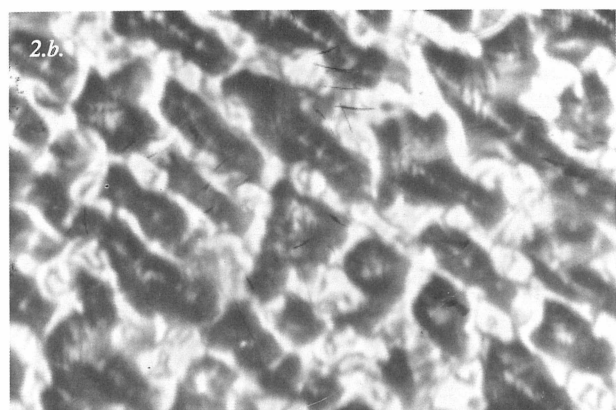
Figure 1. a, b, c Light microscopy image of metalographic structures of a) Basil S, b) Wironit and c) Wironium (250 x)

Poslije nagrizanja mikrostrukture kod svih je uzorka primijećena prisutnost svjetlijih i tamnijih faza zbog razlike u kemijskom sastavu. Manje plemenita faza jače se nagriza, što rezultira tamnjim prikazom na snimci. To je primarno izlučena faza. Plemenitija faza sadrži više kobalta i nije nagrižena, te jače reflektira svjetlo i svjetla je na snimci. To je matrica ili osnova.

Promatranjem snimke uzorka legure npr. Basil S sa sastavom od 25% — 100% B (slika 2a, b, c, d) opaža se da nema značajnih razlika u veličini i sastavu zrna, što je posljedica sličnih postupaka taljenja i hlađenja.

S pomoću elektronske mikrosonde analizirani su kemijski sastav i mikrostruktura uzorka ovisno o dodatku lijevane legure (tablica 1). Budući da nema značajne razlike među pojedinim legura-





Slika 2a, 2b, 2c, 2d. Mikroskopske snimke (250 x) metalografske strukture legure Basil S s dodatkom već lijevane u količini:

2a. 25% B 2b. 50% B
2c. 75% B 2d. 100% B

Figure 2a, 2b, 2c, 2d. Light microscopy image of metalographic structure of Basil S considering by addition of already cast alloy (250 x):

2a 25% B 2b 50% B
2c 75% B 2d 100% B

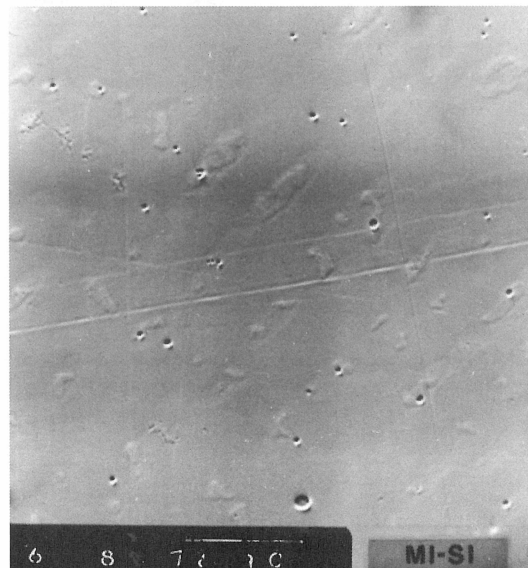
Tablica 1. Prikaz promjene kemijskog sastava u ovisnosti o količini dodatka lijevane legure

Table 1. The representation of chemical composition by addition of already cast alloy

VRSTA	B	IZLUČENA FAZA				OSNOVNA FAZA			
		Cr	Mo	Fe	Co	Cr	Mo	Fe	Co
WM	0%	40,30	12,50	0,55	46,65	31,06	2,20	1,16	65,58
WM	25%	37,19	13,92	0,39	48,50	29,47	2,26	0,17	67,56
WM	50%	39,50	9,28	0,42	50,80	29,02	1,63	0,88	68,47
BS S	25%	36,00	9,70	0,42	53,3	31,37	2,56	0,86	65,21
WT	25%	36,50	9,80	0,42	53,28	29,00	2,55	0,75	67,70

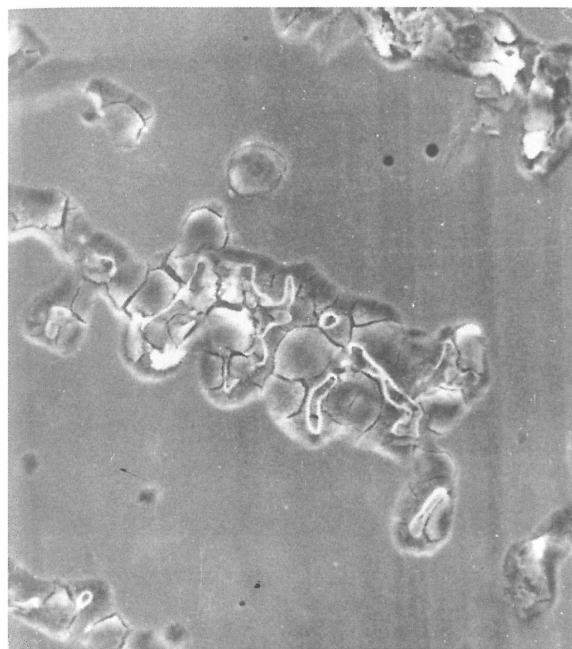
ma, za ispitivanje je odabrana legura Wironium s 25% B.

Kompozicijska snimka povratnih elektrona sastava površine (COMPO) nalazi se na slici 3a, sekundarnih elektrona (SEI) na slici 3b, apsorbiranih elektrona (AEI) na slici 3c. Karakteristične scanning X-ray snimke raspodjele pojedinih elemenata (Co, Cr, Mo, C i O) na analiziranoj površini nalaze se na slikama 4a, b, c, d i e. Uzduž linije AA' (slika 3c) sniman je profil kon-



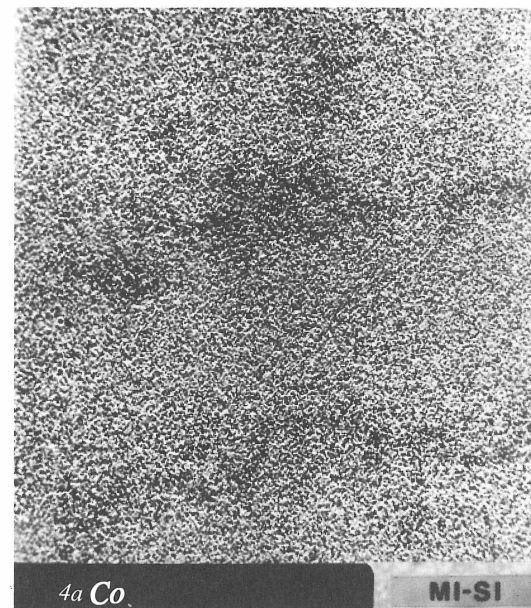
Slika 3a. SEM-kompozicijska snimka povratnih elektrona sastava površine (CP, SP) (300 x)

Figure 3a. SEM micrographs reflexive electrons of surfaces (COMPO) (300 x)



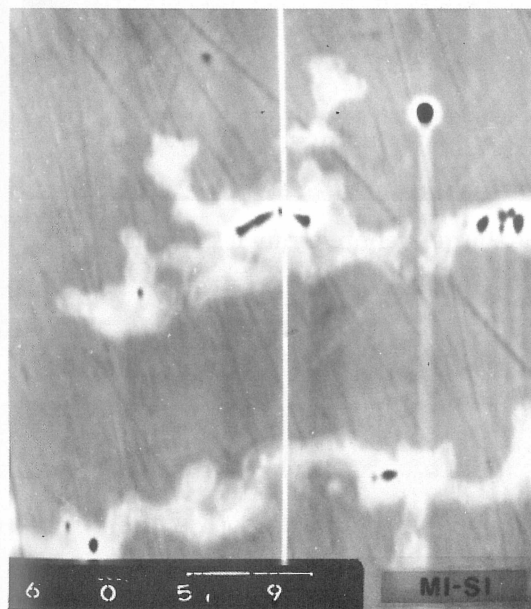
Slika 3b. SEM snimka sekundarnih elektrona (SEI) (500 x)

Figure 3b. SEM micrographs secundary electrons (SEI)
(500 x)



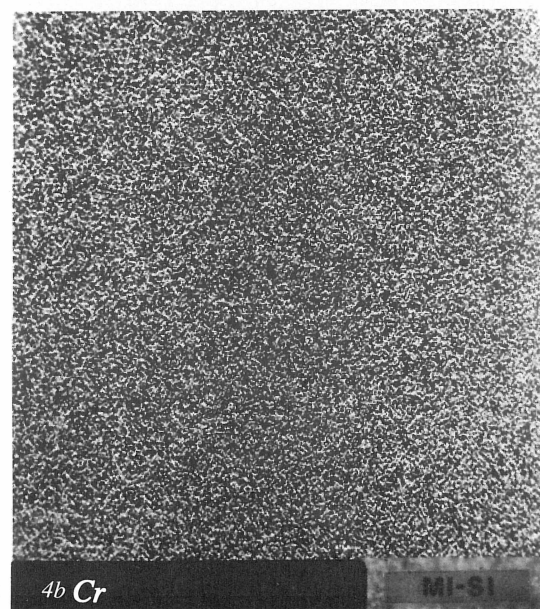
4a Co

MI-SI



Slika 3c. SEM snimka apsorbiranih elektrona (AEI) (1000 x)

Figure 3c. SEM micrographs absorbed electrons (AEI)
(1000 x)



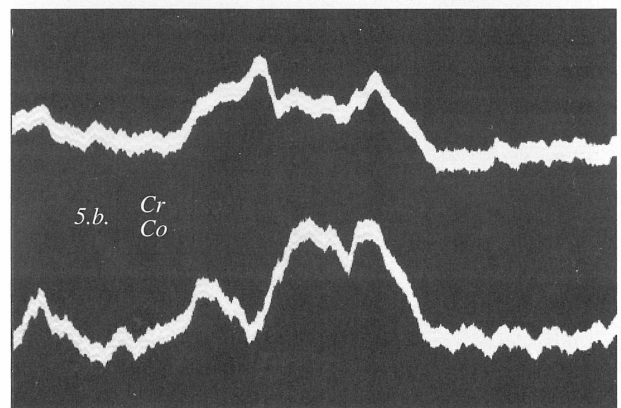
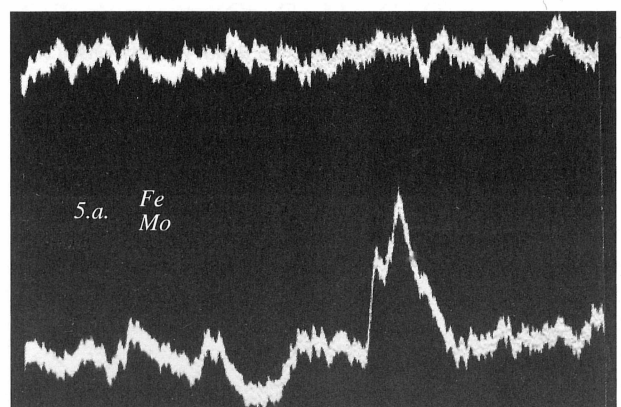
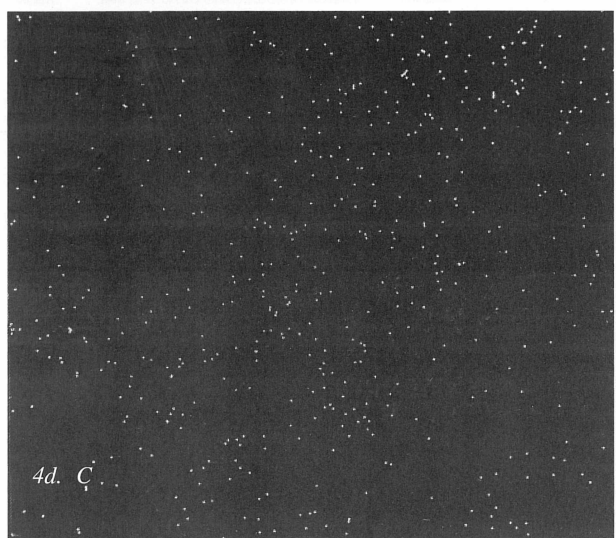
4b Cr

MI-SI



Slika 4. (a, b, c, d, e) SEM snimke raspodjele pojedinih elemenata na analiziranoj površini

Figure 4. (a, b, c, d, e) SEM micrographs of distribution separate elements on analyzed surface



Slika 5. SEM snimka profila koncentracije (PK) uzduž crte AA' za elemente: Fe, Mo, Cr i Co

Figure 5. SEM micrographs of profile concentration (PK) along with AA'

centracije (PK) za pojedine elemente (slika 5 a, b) i to linijskom analizom kemijskog sastava.

Kod karakterističnih uzoraka, Wironium 0%, 25% i 50% B, Wironit 25% i 50% B, Basil S 25% i 50% B određivana je koncentracija ugljika kao jednog od najznačajnijih činitelja koji pridonosi povećanju tvrdoće legure (tablica 2).

Tablica 2. Promjene koncentracije ugljika u odnosu na količinu dodatka jednom lijevanje legure

Table 2. Changes in carbon concentration depending on increasing amount of already cast alloy

VRSTA	B	C %
WIRONIUM	0%	0,224
WIRONIUM	25%	0,187
WIRONIUM	50%	0,395
WIRONIT	25%	0,405
WIRONIT	50%	0,433
BASIL S	25%	0,552
BASIL S	50%	0,481

Rasprava

Prema tvorničkim karakteristikama uočava se neznatna razlika u sastavu pojedinih legura. Legura Basil S sadrži znatno veći postotak ugljika, čak do 0,45% C, što je podloga za objašnjenje mnogih različitosti prilikom ispitivanja.

Analizom mikrostrukture legura uočava se razlika u obliku i veličini zrna između originalnih (tvorničkih) legura i legura izlivenih u laboratoriju.

Kod snimaka legura s dodatkom jednom lijevanje legure nema značajnijih razlika, zbog nekoliko čimbenika. Sve legure imaju sličan sastav i fizikalna svojstva, te postupak pripreme uzorka (tj. vrijeme taljenja i način hlađenja).

Postupak sporijeg hlađenja rezultira krupnije zrnatom strukturom, a zbog malog presjeka uzorka nema uobičajene razlike u veličini zrna na rubu i u središtu. Primjećuje se neznatan porast poroznosti i onečišćenja koji ne utječe bitno na oblik i veličinu zrna.

Ispitivane legure imaju ternarni sastav (sadrže krom, kobalt i molibden, a tek neznatne količine drugih elemenata) i strukturu kristala mješanaca. Uglavnom su prisutne dvije faze koje se razlikuju i po sadržaju kobalta. One se vide kao svjetlija i tamnija područja na metalografskim snimkama nagriženih uzoraka.

Rezultati dobiveni ispitivanjem elektronskom mikrosondom točnije potvrđuju prethodni zaključak.

Kemijski sastavi legura s 25% B i 50% B, te za Wironium i 0% B, koji su prikazani u tablici 1, pokazuju vrlo male promjene sastavnih komponenti (kroma, kobalta, molibdена i željeza) u odnosu na originalnu, metaljenu leguru. Promatrajući taj odnos po fazama uočavamo da je osnovna faza (matrica) bogatija kobaltom, dok izlučena faza sadrži više kroma i molibdена. Povećavajući postotak dodatka lijevanje legure uočavamo da se udio kroma i molibdена smanjuje u korist udjela kobalta i željeza. To je uzrok različitosti u nagriženosti pojedinih faza.

Neznatne promjene kemijskog sastava koje nastaju dodavanjem stanovite količine lijevanje legure nemaju značajnijeg utjecaja na mehanička svojstva legure (21, 22, 23).

Analizom količina ugljika po sustavu od 0% B do 50% B za Wironium, i paralelno za sve tri legure kod 25% B i 50% B, željelo se ustanoviti kako raste sadržaj ugljika s povećanjem dodatka lijevanje legure, te međusobna razlika među legurama.

Analizirajući rezultate, uočavamo da se dobivene vrijednosti za pojedine legure nalaze u okviru tvornički zadano maksimuma (za legure Wironium 0% B i 25% B), ili neznatno više za preostale legure. Najveća odstupanja primjećuju se kod legure Basil S sa 25% B, što se i očekivalo jer ta legura u tom postotku pokazuje i znatno povećanje tvrdoće.

Promjene kemijskog sastava događaju se ponovnim lijevanjem, ali toliko neznatno da ne utječu bitnije na temeljna svojstva, što je sukladno rezultatima istraživanja ostalih autora (10, 11, 24, 25, 26).

Zaključci

Na osnovi dobivenih rezultata ispitivanja kobalt-krom legura s dodatkom lijevanje legure može se zaključiti sljedeće:

- Legure Wironit, Wironium i Basil S, u postocima od 0% B do 100% B, pokazuju približno jednaku mikrostrukturu. Dodatak već lijevanje legure neznatno im povećava poroznost i smanjuje čistoću. Pritom se veličina i oblik zrna ne mijenjaju, jer ti parametri ovise o toplinskoj obradi.

2. Ukupni kemijski sastav ispitivanih legura neznatno se mijenja povećavanjem količine dodatka lijevane legure. Nasuprot tome, sastavi dviju osnovnih faza nisu konstantni. U primarnoj fazi smanjuje se udio kroma i molibdena u odnosu na kobalt i željezo.

3. Dodatak lijevane legure (ponekad) povećava koncentraciju ugljika. To je posebno dobro izraženo kod legure Basil S koja ima visok početni sadržaj ugljika (0,45%). Porast sadržaja ugljika ovisi o načinu zagrijavanja i lijevanja uzorka (grafitne kivete, taljenje plinskim plamenikom i sl.), a najmanji je pri indukcijskom lijevanju u vakuumu.

4. Sve tri ispitivane legure, Wironium, Wironit i Basil S, imaju sličan kemijski sastav, izuzme li se povećani sadržaj ugljika kod legure Basil S. To utječe na povećanje njezine krtosti, što se negativno odražava na kvalitetu protetskih nadomjestaka.

5. Rezultati ispitivanja nalaze se unutar dopuštenih granica te upućuju na mogućnost upotrebe već lijevane legure u svim postocima. Pri tome treba izbjegavati postupke koji povećavaju koncentraciju ugljika u leguri.

EFFECT OF THE ADDITION OF CAST ALLOY OVER THE METALOGRAPHIC STRUCTURE OF COBALT-CHROMIUM CASTINGS

Summary

Cobalt-chromium alloys are used in various reconstructive procedures in prosthodontics. They are most commonly used for metal constructions of partial prostheses. The casting procedures require more metal to melt than it is needed to fill the cast out. The excess is then separated from the casting. The possibility of re-usage of this excess alloy to make a usable casting has been investigated in many studies.

The aim of this experimental study was to assess the extent of changes occurring in cobalt-chromium alloys with the addition of various percentages of pre-cast alloys (B). The Wironium, Wironit (Bego) and Basil S (Zlatarna Celje) alloys were investigated with the addition of 0%, 25%, 50%, 75% and 100% of a pre-cast alloy (B).

Results of the study showed the changes occurring in the metalographic structure and thus in the chemical composition of the alloys to be within the acceptable limits, indicating the possibility of re-usage of the cobalt-chromium alloys, with certain limitations.

Key words: cobalt-chromium alloys, metalographic structure

Adresa za korespondenciju:
Address for correspondence:

Tatjana Klarić-Jurković
Zavod za mobilnu protetiku
Stomatološki fakultet
Gundulićeva 5, Zagreb

Literatura

1. SKINNER AND PHILLIPS. The science of dental materials. London: B. Saunders Company, 1973.
2. TAYLOR D F, LEIBFRITZ W A, ADLER A G. Physical properties of Chromium-Cobalt dental alloys. *J Am Dent Assoc* 1958; 56:343—51.
3. EARNSHAW R G. Cobalt-Chromium alloys in dentistry. *Brit D J* 1965; 101:67—75.
4. COMBE E C. Zahnärztliche Werkstoffe. München: Hanser, 1984.
5. HAUPTMAYER F R. Das Gussmetall Vitallium. *Dt Zahnärztl Wochenschr* 1936; 39: 108.
6. ANGELLINI E, BONINO P, PEZZOLI M, ZUCCHI F. Tensile strength of Cr-Co dental alloys solder joints. *Dent Mater* 1989; 5: 13—17.
7. JANUS C E, TAYLOR D F, HOLLAND G A. A microstructural study of solder connectors of low gold casting alloys. *J Prosthet Dent* 1983; 50: 657—660.
8. GREINER A. Kobalt-Chrom-Legierungen — ihre Eigenschaften und Verarbeitung. *Zahntechnik* 1979; 276—283.
9. MORRIS H F, ASGAR K. Physical properties and microstructure of four new commercial partial denture alloys. *J Prosthet Dent* 1975; 33: 36—46.
10. STRANDMAN E. Der Einfluss von Modifikationen des elektrischen Gusverfahrens auf die Oxydschicht, die Oberflächenrauhigkeit, den Kohlenstoffgehalt und die Mikrostruktur dentaler Kobalt-Chrom-Legierungen. Die Quintessenz der Zahntechnik 1981; 8: 793—801.
11. STRANDMAN E. The influence of carbon content on the mechanical properties in a cast dental Co-Cr alloy. *Ont Revy* 1976; 27: 273.
12. MARXKORS R. Werkstoffe in der zahnärztlichen Praxis. Münster: Verlag J A Barth Fm., 1972.
13. REINACHER G. Zusammenfassende Darstellung des Standes der Technik auf dem Gebiet der Edelmetalle. *Metall* 1969; 22:693—71.
14. ASGAR K, ALLAN F C. Microstructure and physical properties of alloy for partial dental castings. *J Dent Res* 1968; 47: 189.
15. MARX H. Untersuchungen der Wiederverwendbarkeit dentaler Gold-Platin-Legierungen. *Dtsch Zahnärztl Z* 1973; 28: 916.
16. BECKER J. Untersuchungen der mechanischen Eigenschaften einer Kobalt-Chrom-Legierungen bei wiederholtem Vergus. Med Dissertation. Mainz 1976.
17. PRESSWOOD R G. Multiple recast of a nickel-chromium-beryllium alloy. *J Prosthet Dent* 1983; 50: 198—9.
18. RAMADAN F A, ABD el HALIM A E. Effect of remelting and heating cycles on the structure and mechanical properties of gemini II alloy. *Egypt Dent J* 1979; 25: 63—70.
19. BEGO Information: Modellgus-Technik nach dem Bego System. Publikacija tvrtke.
20. HUNER S H. Introduction to physical metallurgy. London: Mc Graw-Hill Book Company, 1964.
21. BARSBY M J, SCHWARZ W D. Laboratory casts of cobalt-chromium partial dentures. *Br Dent J* 1984; 167: 365—367.
22. WALTER O. Untersuchungen der chemischen Zusammensetzung und metallurgischen Struktur einer dentalen Kobalt-Chrom-Legierung bei wiederholtem dreisigfachen Vergus. Med Dissertation. Mainz.
23. HESBY D A, KOBES P, GARVER D G, PELLEU G B. Physical properties of a repeatedly used non-precious metal alloy. *J Prosthet Dent* 1980; 44: 291—3.
24. MARX M. Zur Wiederverwendbarkeit dentaler Kobalt-Chrom-Legierungen. *Dental Labor* 1975; 23: 1406—1410.
25. MATIN K A, MANDERSON R D. The influence of sprue design on cobalt chromium alloy casting defects. *J Dent* 1984; 12:175—82.
26. MARX H. Zur Wiederverwendbarkeit dentaler Kobalt-Chrom-Legierungen. *Dtsch Zahnärztl Z* 1974; 29: 1008—1013.